

операций з очищення газопроводу методом пропуску очисного пристрою та наявності на підприємствах реальних даних про кількість зібраних забруднень.

Суттєво впливають на похибки в розрахунках за формулами (1) і (3) такі причини:

- метод очищення газопроводів шляхом створення швидкісного потоку газу є менш ефективним, ніж очищення пропуском очисного поршня, тобто (як видно з розрахунків) з деяких ділянок відкладення виносяться частково;
- з понижених ділянок великої протяжності відбувається мале винесення рідини або взагалі воно не має місця;

– кінцева ділянка стала певним “контейнером” для збору відкладень, що дало змогу збирати протягом декількох діб конденсат на Хрестинській ДКС (даніх про кількість зібраного конденсату немає).

Крім того, велика похибка загальноприйнятої формули (1) пояснюється тим, що розроблялась вона в середині 80-х років, і коефіцієнти розраховано для діючих газопроводів з тиском, більшим у 2-3 рази, ніж на газопроводах ІДК, ІПК, ЄДК; з врахуванням того, що тиск у газопроводах газотранспортної системи України зменшився, поправочні коефіцієнти потребують перерахунку.

Для більш точного визначення об'єму забруднень можна використати формулу (3), але

її застосування вимагає складання за допомогою трас газопроводів та топографічних карт план-профілів траси газопроводів (за умови їх наявності на підприємствах, що обслуговують газопровід) для визначення кількості висхідних та низхідних ділянок.

Таким чином, отримавши розрахунковим шляхом прогнозований об'єм забруднень в піорожнині діючого газопроводу, можна призначити спосіб та технологію очищення газопроводу, а також підготувати необхідні контейнери та ємності (за видом, типом, об'ємом) для вивозу з метою їх утилізації або переробки.

### Література

1. Капцов И.И. Сокращение потерь газа на магистральных газопроводах. – М.: Недра, 1988. – 160 с.
2. Одишария Г.Э., Катушенко А.В. Гидравлический расчёт рельефных трубопроводов при незначительном содержании жидкости в потоке газа // Газовая промышленность. – М.: Недра, 1976. – С.42-43.
3. Капцов И.И., Розгонюк В.В. Оценка объема отложений (загрязнений) для их утилизации при очистке газопроводов // Питання розвитку газової промисловості України. – Х.: УкрНДГаз, 1998. – Вип. 25. – с.280-286.

УДК 622.248

## ОЦІНКА МІНІМАЛЬНО НЕОБХІДНОГО ТИСКУ В НАГНІТАЛЬНІЙ ЛІНІЇ БУРОВИХ НАСОСІВ ПІД ЧАС ЛІКВІДАЦІЇ ГАЗОНАФТОВОДОПРОЯВІВ МЕТОДОМ ПЛАВНОГО ГЛУШІННЯ

*O.B.Лужаниця*

ПВ УкрДГРІ, 36002, м. Полтава, вул. Фрунзе, 149, тел. (06452) 592579, 500874  
e-mail: public@ifdtung.if.ua

Приведена методика оценки минимально необходимого давления в нагнетательной линии буровых насосов при ликвидации проявлений методами плавного глушения в условиях неопределенности исходной информации. Рассмотрен пример расчета технологических параметров глушения проявлений.

Технологія ліквідації ГНВП методом плавного глушіння зводиться, по суті, до управління гідродинамічною ситуацією у свердловині під час вимивання пачки флюїду, яка забезпечує виконання умови [1]

$$\begin{cases} p_{e.o.}(z_{nl}) \geq p_{nl}, \\ p_{e.d.}(z_i) \leq p_{e.n.}(z_i), \end{cases} \quad (1)$$

де:  $p_{e.d.}(z_{nl})$  – гідродинамічний тиск у процесі ліквідації ГНВП на глибині залягання пласта, з якого відбувається проявлення  $z_{nl}$ ;

*The technique of an estimation minimal of indispensable pressure in a blowing line of mud pumps is aduced at liquidation of developments by methods of smoothly varying damping in conditions of uncertainty of an input information. The example of calculation of technological parameters of damping of developments is reviewed.*

$p_{nl}$  – тиск у пласті, з якого відбувається проявлення;

$p_{e.d.}(z_i)$  – гідродинамічний тиск на глибині залягання схильного до поглинання пласта  $z_i$ ;

$p_{e.n.}(z_i)$  – тиск виникнення поглинання пласта на глибині  $z_i$ .

В умовах невизначеності вихідної інформації Бойко Р.В. [2] запропонував розглядати надійність гідродинамічної ситуації у свердловині при виконанні будь-якої операції шляхом виділення деякого інтервалу компромісу на можливій множині значень тиску, межі якого

мінімізують імовірність виникнення депресії на пласт знизу, а зверху – гідророзриву стінок свердловини у вигляді [3]

$$\begin{aligned} F_n(p_{\text{пл.}} < p_{\text{віб.}}) &\Rightarrow p_{\min}^*; \\ F_n(p_{\text{г.д.}}^z < p_{\text{св.}}^z) &\Rightarrow p_{\max}^*. \end{aligned} \quad (2)$$

де:  $F_n(p_{\text{пл.}} < p_{\text{віб.}})$  – імовірність того, що вибійний тиск буде не меншим за пластовий;

$F_n(p_{\text{г.д.}}^z < p_{\text{св.}}^z)$  – імовірність того, що гідродинамічний тиск на глибині  $z$  не перевищуватиме тиск гідророзриву стінок свердловини.

Розв'язок першого рівняння системи (2) дає змогу одержати значення  $p_{\min}^*$ , яке на множині можливих значень відсікає промінь  $[p_{\min}^*; +\infty]$ . У межах цього променя тиск на вибої найбільш імовірно буде перевищувати пластовий. Корінь другого рівняння  $p_{\max}^*$ , навпаки, визначає промінь  $[-\infty; p_{\max}^*]$ , який мінімізує ризик порушення цілісності стінок свердловини у небезпечному перерізі.

Про величину гідродинамічного тиску на будь-якій глибині свердловини ми можемо судити за значеннями надлишкових тисків на її усті. Тому променям, визначенням за (2), будуть відповідати аналогічні промені на гирлі:  $[p_y^{\min}; +\infty] \cap [-\infty; p_y^{\max}]$  (де  $p_y^{\min}$  і  $p_y^{\max}$  – значення надлишкових тисків на усті, що за своїм фізичним змістом відповідають величинам  $p_{\min}^*$  і  $p_{\max}^*$ , відповідно). Тоді очевидно, що відрізок, у межах якого успішність проведення операцій з ліквідації ГНВП методом плавного глушіння максимальна (при мінімумі ризику виникнення порушення цілісності стінок свердловини), буде визначатися за правилом

$$[p_y^{\min}; +\infty] \cap [-\infty; p_y^{\max}] \Rightarrow [p_y^{\min}; p_y^{\max}], \quad (3)$$

де  $p_y^{\min}$ ;  $p_y^{\max}$  – відповідно мінімально можливий і максимально допустимий тиски на гирлі під час ліквідації ГНВП.

Тиск у нагнітальній лінії бурових насосів вище якого імовірність виникнення депресії мінімізується, буде оцінюватися з умови

$$\begin{aligned} \int_{-\infty}^{p_{\text{віб.}}} \varphi_1(p_{\text{пл.}}) dp \times \int_{p_{\text{віб.}}}^{+\infty} \varphi_2(p_{\text{віб.}}) dp = \\ = \Phi(p_{\text{віб.}} \geq p_{\text{пл.}}) \Rightarrow p_{\text{віб.}}^{\min}; \\ \int_{p_{\text{H.}}}^{+\infty} \varphi_3(p_{\text{H.}}) dp = \Phi(p_{\text{віб.}}^{\min} \geq p_{\text{пл.}}) \Rightarrow p_{\text{H.}}^{\min}; \\ p_{\text{H.}}^{\min} = p_{\text{г.д.}}^{\min} + \Delta p_{\text{тр.}} + \Delta p_{\text{нор.}}, \end{aligned} \quad (4)$$

де:  $p_{\text{віб.}}^{\min}$  – мінімально необхідний для створення гарантованої репресії вибійний тиск.

$p_{\text{H.}}^{\min}$  – мінімальний тиск у нагнітальній лінії бурових насосів, підтримання якого забезпечує репресію на пласт, з якого відбувається проявлення.

Гідродинамічний тиск на глибині залягання пласта, з якого відбувається приплив, дорівнюватиме [4]

$$\Delta p_{\text{г.д.}} = \sum_{k=1}^m \lambda_k^{\text{к.п.}} \rho \frac{u_k^2}{2(D_k d_k^3)} l_k + \Delta p_{\text{м.о.}} + \Delta p_{\text{mp.}} \quad (5)$$

де:  $\rho$  – густина бурового розчину;

$k = \overline{1; m}$  – однорозмірна ділянка кільцевого простору свердловини;

$\lambda_k^{\text{к.п.}}$ ;  $u_k$  – відповідно коефіцієнт гіdraulічного опору і швидкість потоку (у м/с) на  $k$  – ій однорозмірній ділянці кільцевого простору свердловини;

$D_k$ ;  $d_k^3$  і  $l_k$  – відповідно діаметр свердловини, зовнішній діаметр колони труб і довжина  $k$  – ої однорозмірної ділянки кільцевого простору свердловини;

$\Delta p_{\text{м.о.}}^{\text{к.п.}}$  – втрати тиску на місцевих опорах кільцевого простору свердловини, Па.

Тиск у нагнітальній лінії бурових насосів дорівнює

$$\Delta p_{\text{mp.}} = \sum_{j=1}^m \lambda_j^{\text{mp.}} \rho \frac{v_j^2}{2d_j^2} l_j + \Delta p_{\text{м.о.}}^{\text{mp.}}, \quad (6)$$

де:  $j = \overline{1; m}$  – однорозмірна ділянка каналу колони труб;

$\lambda_j^{\text{mp.}}$  і  $v_j$  – коефіцієнт гіdraulічного опору і швидкість потоку (у м/с) відповідно на  $j$  – ій однорозмірній ділянці каналу колони труб;

$d_k^{\text{вн.}}$  і  $l_k$  – відповідно внутрішній діаметр і довжина  $j$  – ої однорозмірної ділянки каналу колони труб;

$\Delta p_{\text{м.о.}}^{\text{mp.}}$  – втрати тиску на місцевих опорах каналу колони труб і у наземній об'язці бурового насоса.

Діаграма мінімально необхідного тиску у нагнітальній лінії бурових насосів під час ліквідації ГНВП буде розраховуватися за такою послідовністю процедур:

1. За відомими законами розподілу здійснюють  $n$  – кратне статистичне моделювання вихідних даних.

2. За рівняннями (5) і (6) формують вибірки випадкових величин  $p'_{\text{г.д.}} \in \{p'_{\text{г.д.}}^i\}$  та  $p'_{\text{б.н.}} \in \{p'_{\text{б.н.}}^i\}$ , ( $i \in \overline{1, n}$ ;  $n$  – об'єм вибірки).

З умови (4) оцінюють мінімальний тиск у нагнітальній лінії бурових насосів для забезпечення гарантованої репресії на пласт, з якого відбувається проявлення.

Розглянемо принцип реалізації запропонованого підходу на прикладі св. №100 Суходолівської площа.

**Вихідні дані**

Глибина свердловини 5373 м.

Густина розчину 1540-1650 кг/м<sup>3</sup>.

Продуктивність насосів на останньому дівбанні 18-20 л/с.

Тиск нагнітання розчину 7,1-8,3 МПа.

Надлишковий тиск на усті у трубах після герметизації 9,5-10 МПа.

Ліквідація ГНВП проводилася за допомогою агрегату ЦА 320М з продуктивністю 5-6 л/с.

**Основні розрахунки**

Статистичні характеристики закону розподілу величин пластового тиску оцінювалися за формулою [1]

$$p_{pl.} = \rho g H + \Delta p_y^y,$$

а вибійного – за рівнянням (1) за умови, що рецесія на пласт буде знаходитися у межах 3-7% від пластового.

Алгоритм моделювання за методикою було побудовано з припущенням, що вихідні дані складають вектор статистично незалежних величин, розподілених за рівномірним законом [1].

Результати оцінки статистичних характеристик законів розподілу

$$\bar{p}_{pl.} = 95,6 \text{ МПа}; \sigma_{p_{pl.}} = 13,8 \text{ МПа}.$$

$$\bar{p}_{vib.} = 98,5 \text{ МПа}; \sigma_{p_{vib.}} = 13,8 \text{ МПа}.$$

Оскільки невідома реологічна модель промивальної рідини, моделювання закону розподілу тиску нагнітання промивальної рідини під час глушіння визначимо з формул [1]

$$\left\{ \begin{array}{l} p_{pl.}^n = p_{pl.}^b (Q_{GNVP}/Q_b)^{1,82} + \Delta p_y^{mp.} + \Delta p_{hor.} \\ p_{pl.}^k = p_{pl.}^b (Q_{GNVP}/Q_b)^{1,82} \frac{\rho_{o.p.}}{\rho_p}, \end{array} \right. \quad (7)$$

де:  $p_{pl.}^n$  і  $p_{pl.}^k$  – відповідно тиски нагнітання на початок і кінець ліквідації ГНВП, Па;

$\rho_{o.p.}$  – густина обважненої промивальної рідини, кг/м<sup>3</sup>.

Величина вибійного тиску, вище якого ризик повторного виникнення рецесії мінімальний за першим рівнянням системи (7) становить  $p_{vib.}^{min} = 97,2$  МПа, а ймовірність перевищення вибійного тиску над пластовим –  $\Phi(p_{vib.} \geq p_{pl.}) = 0,29$ .

Статистичні характеристики законів розподілу тиску в нагнітальній лінії бурових насосів на початку та в кінці ліквідації ГНВП за системою (7) відповідно становитимуть

$$\bar{p}_{pl.}^n = 15,3 \text{ МПа}; \sigma_{p_{pl.}^n} = 2,2 \text{ МПа};$$

$$\bar{p}_{pl.}^k = 1,8 \text{ МПа}; \sigma_{p_{pl.}^k} = 0,3 \text{ МПа};$$

Мінімально допустимі тиски з другого рівняння системи (4) відповідно становитимуть

$$p_{pl.}^{n, min} = 14,1 \text{ МПа};$$

$$p_{pl.}^{k, min} = 1,6 \text{ МПа}.$$

Діаграма управління тиском нагнітання у викидній лінії насосного агрегату під час реалізації методу плавного глушіння способом очікування і обважнення наведена на рис. 1.

Фактично ГНВП було ліквідовано способом очікування і обважнення розчином густиною 1780-1800 кг/м<sup>3</sup>. Тиск нагнітання на початок глушіння становив приблизно 15 МПа з плавним зниженням до 2 МПа у процесі заповнення колони труб обважненим буровим розчином.

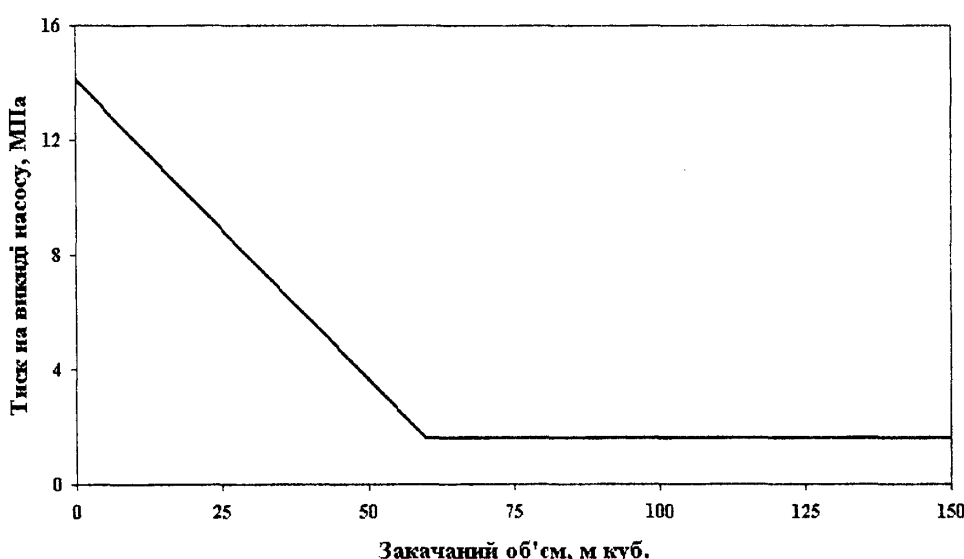


Рисунок 1 — Результати розрахунків діаграми зміни тиску на викидній лінії насосного агрегату під час реалізації способу очікування і обважнення на прикладі свердловини № 100 Суходолівської площини

**Література**

1. Ясов В.Г., Мыслюк М.А. Осложнения в бурении: Справочное пособие. — М.: Недра, 1991. — 334 с.

2. Бойко Р.В. Надійність проводки свердловин // Нафт. і газ. пром-сть. — 1994. — № 1. — С. 23-26.

3. Вентцель Е.С. Теория вероятности. — М.: Наука, 1969. — 576 с.

4. Маковей Н. Гидравлика бурения / Пер. с рум. — М.: Недра, 1986. — 536 с.

УДК 621.311.11

**ЗАХИСТ ВІД КОРОЗІЇ МАГІСТРАЛЬНИХ ГАЗОПРОВОДІВ*****В.І.Михайлів, Б.Б.Сохан, Д.Ф.Тимків***

*IФНТУНГ, 76019, м. Івано-Франківськ, вул. Карпатська, 15, тел. (03422)  
e-mail: public@ifdtung.if.ua*

*Рассмотрена проблема защиты от коррозии магистральных трубопроводов. Описан вопрос предупредительных мер от перенапряжений в установках электрохимической защиты.*

Проблема захисту від корозії винятково актуальна в Україні, особливо за сучасних економіческих умов, через дефіцит металу, енергетичних ресурсів. Сумарні щорічні втрати від корозії в усіх галузях народного господарства України становлять понад 15 млрд. крб. у цінах 1990 року [1]. Наведені дані свідчать, що технічний стан і, врешті-решт, надійність трубопроводів, по яких транспортується газ, значно залежать від стану системи антикорозійного захисту.

Коли металевий об'єкт знаходиться в ґрунті, через термодинамічну нестійкість металу в природних умовах самовільно виникає взаємодія його з рідким компонентом — ґрутовим електролітом. Внаслідок цього метал окислюється і з часом руйнується. Цей процес корозійного руйнування металевих або залізобетонних споруд, що знаходяться повністю в ґранті (ґрутовому електроліті) або в прісній воді, називають підземною корозією.

Підземна корозія, як і корозія металу у водних розчинах, має електрохімічну природу.

Практика експлуатації трубопроводів свідчить, що ідеального захисного покриття не існує. Навіть при ретельному виконанні захисне покриття в процесі експлуатації старіє: втрачає діелектричні властивості, водостійкість тощо. Вже в процесі експлуатації виникають пошкодження ізоляційного покриття при пересуванні газопроводу під впливом температурних коливань, коріння дерев, чинників, що викликані діяльністю людини тощо. Крім того, в покритті залишаються дефекти ізоляції, які виникли під час будівництва. Тому наявність ізоляційного покриття не гарантує необхідного захисту від корозії. Достатньо ефективним захистом газопроводів є комплексний, коли, крім ізоляційного покриття, обов'язково застосовується електрохімічний захист (ЕХЗ) катодною поляризацією.

Ефект зниження корозії при катодній поляризації значною мірою залежить від електрохімі-

*In given article considered problems of protection from corrosion main pipe line. Question of preventive measures is Described from overstrains in installation an electric-chemical of protection.*

чних процесів. Швидкість цих процесів, крім температури та складу середовища, залежить від електродного потенціалу. Таким чином, потенціал є єдиним критерієм захисної дії при електрохімічному захисті.

Загалом електрохімічний захист базується на закономірному зниженні швидкості розчинення металу при зміщенні його потенціалу у від'ємні значення відносно потенціалу корозії. Захист виконується накладенням зовнішнього струму, який поляризує ділянки локальних елементів до значень потенціалу анодних ділянок. Поверхня металу стає еквіпотенціальною (катодний та анодний потенціали стають однаковими), і в результаті корозійний струм зникає (відсутні умови для переходу іонів металу в розчин).

Метод катодної поляризації передбачає зміщення електродного потенціалу металу до від'ємних значень захисного потенціалу, при яких швидкість розчинення металу стає практично припустимою.

Магістральні трубопроводи (газопроводи, нафтопроводи, водопроводи) складаються із окремих секцій, електрично ізольованих одна від одної. Кожна секція комплектується системою катодного захисту від корозії.

Виникнення пошкоджень в системі електропостачання, виникнення імпульсів грозових перенапруг в лінії електроживлення чи в лінії анодного заземлення може привести до пошкодження станції катодного захисту і в кінцевому результаті — ділянки трубопроводу, який вона захищала. Захист станції катодного захисту від грозових перенапруг здійснюється за допомогою вентильних розрядників і варисторів. Схема захисту зображена на рис. 1.

Дроселі, створюючи великий опір струмові блискавки, сприяють надійному спрацюванню вентильних розрядників в анодному і катодному колах.